

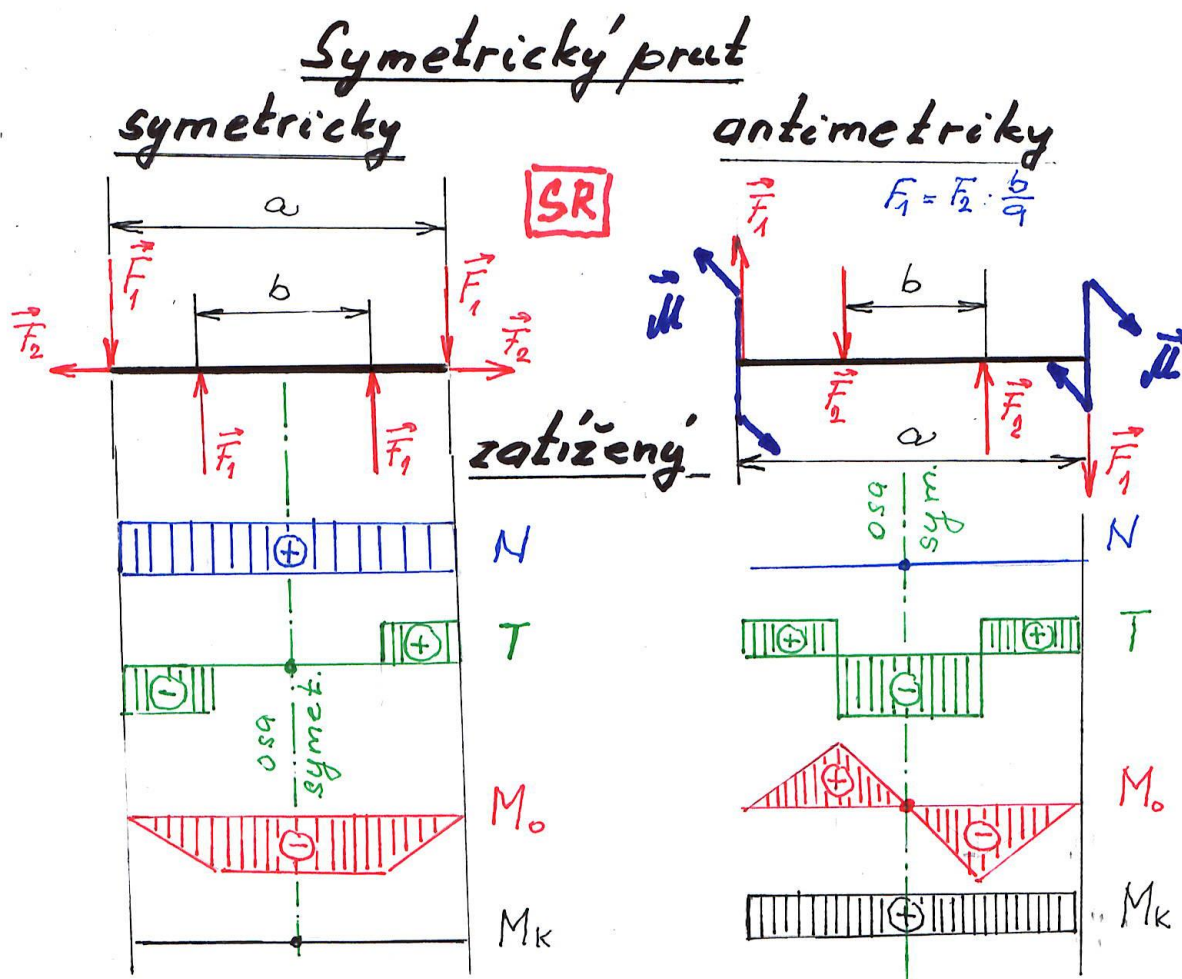
10. cvičení Pružnost a pevnost 1

Namáhání na ohyb – Pruty zakřivené a zalomené. Uzavřené pruty (rámy). Využití symetrie a antimetrie (antisymetrie)

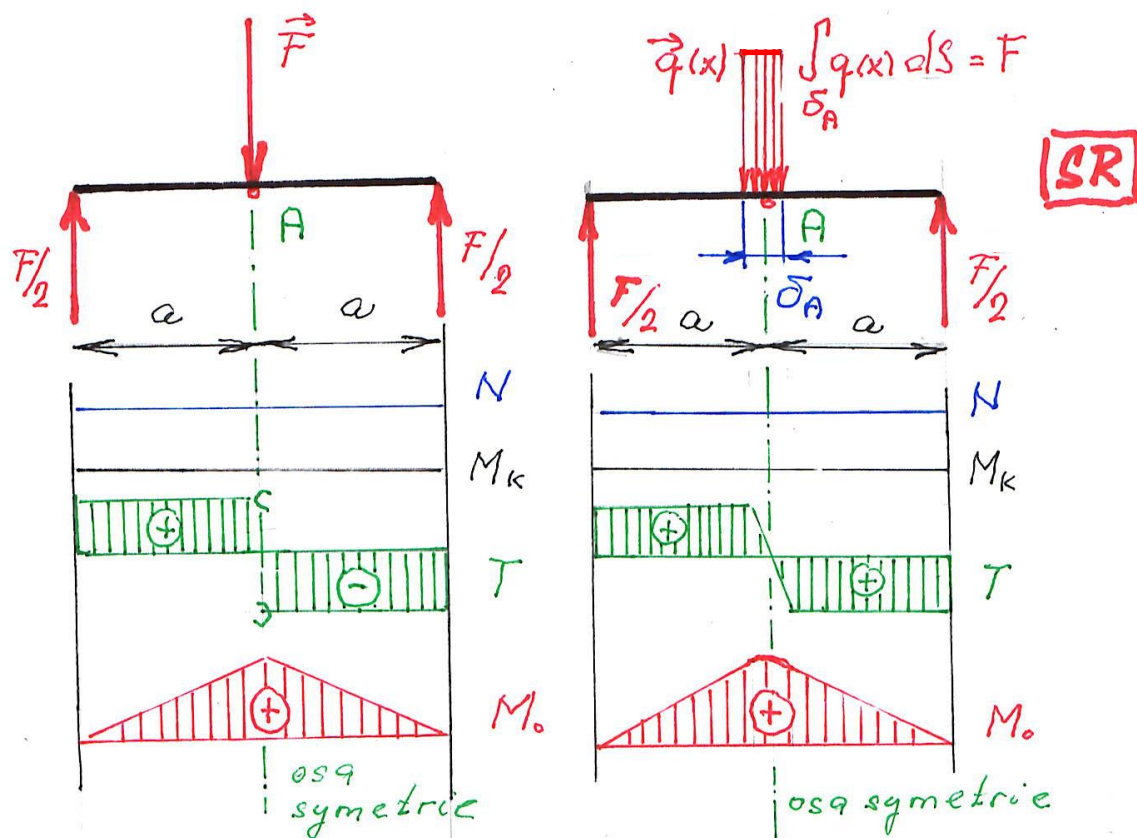
Úvod

Výsledné vnitřní účinky, v bodě tělesa (dále jen „VVÚ“) jsou obecně množina šesti souřadnic silové a momentové výslednice výsledných vnitřních sil v těžišti příčného průřezu ($VVÚ = \{N, T_y, T_z, M_k, M_{oy}, M_{oz}\}$). VVÚ a vnější silová soustava jsou v rovnováze na uvolněném prvku Ω_0 .

V dalším výkladu se zaměříme na rovinné symetrické, symetricky a antimetricky zatížené pruty. Symetrický prut je symetrický z hlediska geometrie, materiálu a vazeb. U symetrického, symetricky zatíženého prutu jsou **na ose symetrie** nenulové pouze **symetrické souřadnice VVÚ** (N, M_o) a u symetrického antimetricky zatíženého prutu jsou **na ose symetrie** nenulové pouze **antimetrické souřadnice VVÚ** (T, M_k) - viz obr. 0.1.



Obr. 0.1



Obr. 0.2

Poznámka: Pokud je silové působení na těleso vyjádřeno silou, pak v místě působení síly není definovaná posouvající síla $T(x)$, (bod nespojitosti). V případě, že použijeme reálnější model rozloženého silového působení je posouvající síla u symetrického prutu symetricky zatíženého na ose symetrie nulová, viz obr. 0.2.

Příklad 1

U tělesa podle obr. 1.1 určete bezpečnost vzhledem k meznímu stavu pružnosti a svislý posuv bodu C, je-li:

$$\phi d = 15 \text{ mm},$$

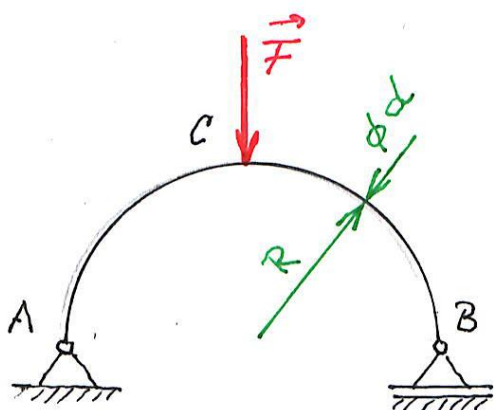
$$R = 150 \text{ mm},$$

$$F = 1000 \text{ N}.$$

Materiál tělesa je ocel s mezí kluzu $\sigma_k = 350 \text{ MPa}$. Pro materiál tělesa můžeme použít model Hookovského materiálu.

Rozbor:

Těleso má charakter vnějškově uzavřeného, slabězakřiveného prutu, protože poměr délky prutu a průměru je větší než 5 ($\pi R/d > 5$). Pokud extrémní napětí je menší nebo rovno σ_k , ($\sigma_{\text{ext}} \leq \sigma_k$), splňuje úloha podmínku lineárnosti.



Obr. 1.1

Řešení:

1) **Úplné uvolnění:** Náčrt úplného uvolnění viz obr. 1.2.

2) **Statický rozbor:** $NP = \{F_{Ax}, F_{Ay}, F_{Bn}\}$, počet neznámých $\mu = 3$. Soustava sil π působících na těleso je rovinná obecná, $v = 3, s = 0$. Úloha je staticky určitá.

3) **Rovnice rovnováhy:**

$$F_x: F_{Ax} = 0$$

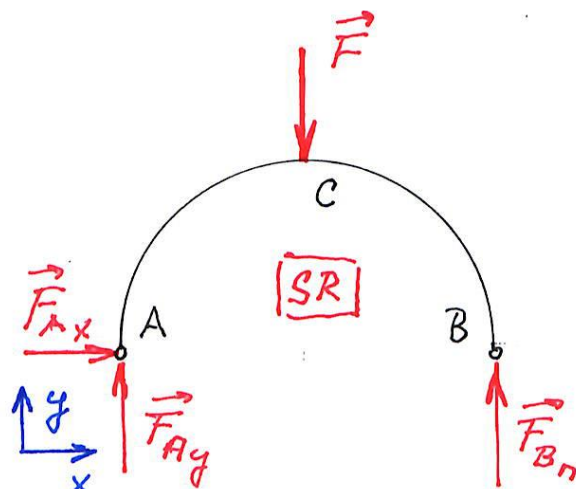
$$M_{ZA}: F_{Bn} \cdot 2R - F \cdot R = 0 \Rightarrow F_{Bn} = F_{Ay} = \frac{F}{2}$$

Nyní načrtneme uvolnění prutu s nenulovými výslednými stykovými silami – obr. 1.3.

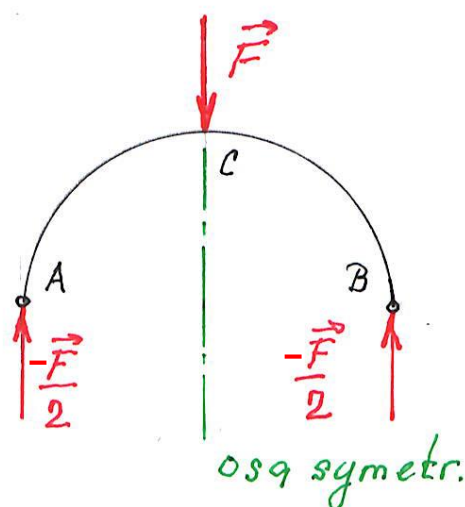
I když uložení prutu není symetrické, působení nenulových sil symetrické je. Proto bod C má vlastnosti bodu na ose symetrie symetrického, symetricky zatíženého prutu, tedy $u_C = 0$ a $\varphi_C = 0$.

Pokud by i $w_C = 0$, pak v bodě C by byly stejné podmínky jako ve vetknutí. Vzhledem k tomu, že body A, B jsou uvolněné, umístíme-li v bodě C pevnou vazbu (vetknutí), deformace prutu bude stejná jako při původním uložení, pouze vertikální posuv (w) bodů prutu se relativně změní o hodnotu posuvu w_C . Deformace a namáhání prutu budou symetrické podle osy symetrie. Dále se budeme zabývat polovinou prutu viz obr. 1.4a. Řezem p oddělíme prvek a vyznačíme podstatnou souřadnici VVÚ - $M_o(\alpha)$ viz obr. 1.4b.

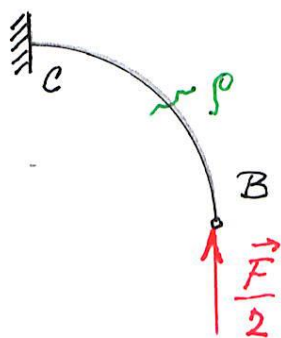
Protože $\pi R/d > 5$, je z hlediska určení deformačního parametru podstatnou souřadnicí VVÚ $M_o(\alpha)$.



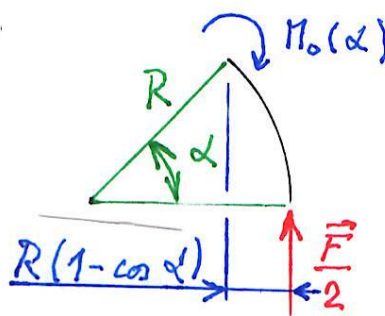
Obr. 1.2



Obr. 1.3



Obr. 1.4a



Obr. 1.4b

$M_o(\alpha) = \frac{F}{2} \cdot R \cdot (1 - \cos \alpha)$, maximální ohybový moment je v místě C pro $\alpha = 90^\circ$, $\cos \alpha = 0$.

$$M_{o,max} = \frac{F}{2} \cdot R$$

V bodě C je $T = 0$, $N = 0$ a $M_{o,max} = \frac{F}{2} \cdot R = 500 \cdot 150 = 75\,000 \text{ Nmm}$

$$\text{Extrémní ohybové napětí } \sigma_{\text{ext}} = \frac{M_{0,\text{max}}}{W_0} = 32 M_{0,\text{max}} / \pi \cdot d^3 = 75000 / 331 = 226 \text{ MPa}$$

$$\text{Bezpečnost vzhledem k meznímu stavu pružnosti: } k_k = \sigma_k / \sigma_{\text{ext}} = 350 / 226 = 1,55.$$

Určení posuvu v bodě C

V předchozím jsme vysvětlili, že posuv v bodě C na obr. 1.1 je roven posuvu v bodě B u prutu na obr. 1.4a. Úloha je lineární, proto k určení u_B použijeme Maxwell – Mohrovu variantu Castiglianovy věty.

$$u_B = \frac{\partial W}{\partial (F/2)} = \int_0^{\pi/2} \frac{M_{0(\alpha)}}{EJ} \frac{\partial M_{0(\alpha)}}{\partial (F/2)} \cdot R \cdot d\alpha$$

$$M_{0(\alpha)} = \frac{F}{2} \cdot R \cdot (1 - \cos \alpha), \quad \frac{\partial M_{0(\alpha)}}{\partial (F/2)} = R \cdot (1 - \cos \alpha)$$

$$u_B = \frac{1}{EJ} \int_0^{\pi/2} \frac{F}{2} \cdot R \cdot (1 - \cos \alpha) \cdot R \cdot (1 - \cos \alpha) \cdot R \cdot d\alpha$$

$$M_{0(\alpha)} = \frac{F}{2} \cdot R (1 - \cos \alpha); \quad \frac{\partial M_{0(\alpha)}}{\partial \frac{F}{2}} = R (1 - \cos \alpha)$$

$$\begin{aligned} u_B &= \frac{F}{2EJ} \int_0^{\pi/2} R (1 - \cos \alpha) \cdot R (1 - \cos \alpha) \cdot R d\alpha = \frac{FR^3}{2EJ} \int_0^{\pi/2} (1 - 2\cos \alpha + \cos^2 \alpha) d\alpha \\ &= \frac{FR^3}{2EJ} \int_0^{\pi/2} \left(1 - 2\cos \alpha + \frac{1 + \cos 2\alpha}{2} \right) d\alpha = \dots = \frac{FR^3}{2EJ} \left[\frac{3}{4}\pi - 2 \right] \end{aligned}$$

$$F = 1000 \text{ N}; \quad R = 150 \text{ mm}; \quad \phi d = 15 \text{ mm}; \quad E = 2,1 \cdot 10^5 \text{ MPa}$$

$$R^3 = 3,375 \cdot 10^6 \text{ mm}^3; \quad J = \frac{\pi d^4}{64} = 2,485 \cdot 10^3 \text{ mm}^4$$

$$u_B = \frac{1000 \cdot 3,375 \cdot 10^6}{2 \cdot 2,1 \cdot 10^5 \cdot 2,485 \cdot 10^3} \left[\frac{3}{4}\pi - 2 \right] = 3,234 \cdot 0,3562 =$$

$$\underline{\underline{1,152 \text{ mm}}}$$

Závěr

Bezpečnost prutu vzhledem k meznímu stavu pružnosti je 1,55 a posuv v bodě C je 1,152 mm.

$$\text{Poznámka: } \sin^2 \alpha = \frac{1 - \cos 2\alpha}{2}; \quad \cos^2 \alpha = \frac{1 + \cos 2\alpha}{2}$$

Příklad 2

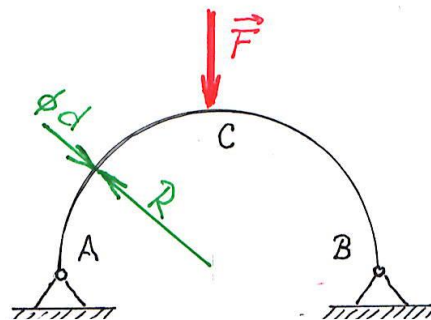
U tělesa podle obr. 2.1 určete bezpečnost vzhledem k meznímu stavu pružnosti a průhyb v bodě C, je-li:

$$\phi d = 15 \text{ mm},$$

$$R = 150 \text{ mm},$$

$$F = 1000 \text{ N}.$$

Materiál tělesa je ocel s mezí kluzu $\sigma_k = 350 \text{ MPa}$. Pro materiál tělesa můžeme použít model Hookovského materiálu.



Obr. 2.1

Rozbor:

Těleso má charakter vnějškově uzavřeného, slabě zakřiveného prutu, protože délka prutu $R/d > 5$. Pokud extrémní napětí je menší nebo rovno σ_k , ($\sigma_{\text{ext}} \leq \sigma_k$), splňuje úloha podmínku lineárnosti.

Řešení:

1) Úplné uvolnění: Náčrt úplného uvolnění viz obr. 2.2.

2) Statický rozbor: $NP = \{F_{Ax}, F_{Ay}, F_{Bx}, F_{By}\}$, počet neznámých $\mu=4$.

Soustava sil π působících na těleso je rovinná obecná, $v = 3$, $s = 1$. Úloha je 1x staticky neurčitá.

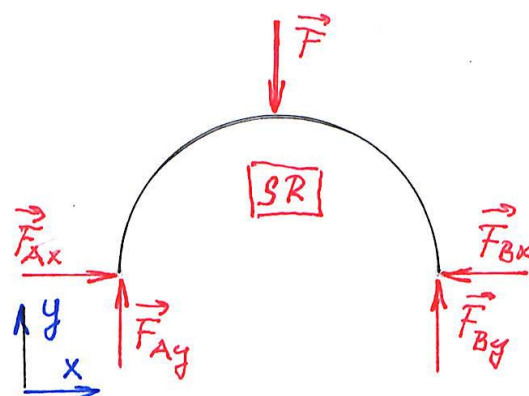
3) Rovnice rovnováhy:

Z momentové rovnice M_{zA} určíme F_{By} a F_{Ay} .

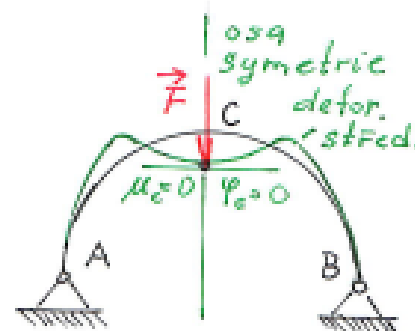
$$M_{zA}: F_{By} \cdot 2R - F \cdot R = 0 \Rightarrow F_{By} = F_{Ay} = \frac{F}{2}$$

Protože F_{By} a F_{Ay} určíme z podmínky SR, nemůžeme pro částečné uvolnění uvolnit část vazeb související s v_A nebo v_B , viz obr. 2.7a, b.

Prut je symetricky, symetricky zatížený. Osa symetrie je svislá a prochází bodem C, viz obr. 2.3.



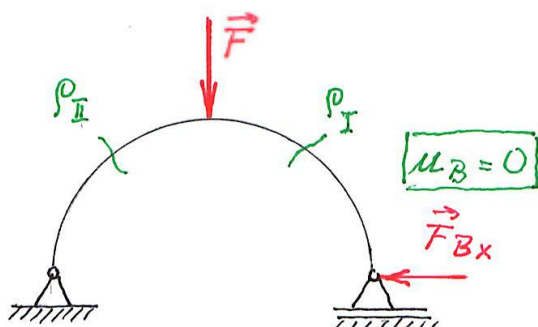
Obr. 2.2



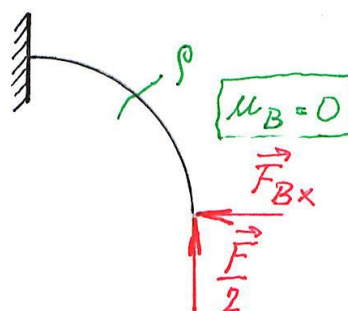
Obr. 2.3

4. Částečné uvolnění:

Prut můžeme částečně uvolnit bez využití symetrie (viz obr. 2.4) nebo s využitím symetrie (viz obr. 2.5).



Obr. 2.4

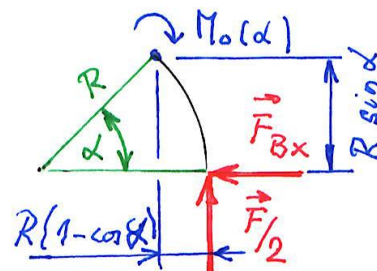


Obr. 2.5

Řešení s využitím symetrie (jeden řez) je operačně podstatně jednodušší než bez využití symetrie (dva řezy), proto použijeme řešení s využitím symetrie viz obr. 2.5. K částečnému uvolnění s využitím symetrie využijeme znalostí z Příkladu 1.

5. Vyjádření deformační podmínky v silovém tvaru:

K vyjádření deformační podmínky v silovém tvaru použijeme Maxwell – Mohrovu variantu Castigliánovy věty. Vzhledem k poměru $\pi R/d > 5$ (MT-Úlohy z PP I, A 65) je z VVÚ podstatný $M_o(\alpha)$, proto oddělíme prvek a vyjádříme $M_o(\alpha)$ viz obr. 2.6.



Obr. 2.6

Vyjádření deformační podmínky $u_B = 0$, v silovém tvaru viz obr. 2.5. Ze známého posuvu u_B určíme výslednou stykovou sílu F_{Bx} .

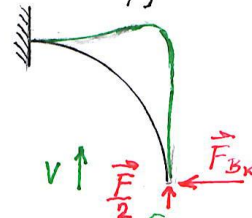
$$\begin{aligned}
 M_o(\alpha) &= \frac{F}{2} \cdot R(1 - \cos \alpha) - F_{Bx} \cdot R \sin \alpha; \quad \frac{\partial M_o(\alpha)}{\partial F_{Bx}} = -R \sin \alpha \\
 u_B &= \frac{1}{EJ} \int_0^{\pi/2} \left[\left(\frac{F}{2} \cdot R(1 - \cos \alpha) - F_{Bx} \cdot R \sin \alpha \right) (-R \sin \alpha) \right] R d\alpha = \\
 &= \frac{1}{EJ} \int_0^{\pi/2} \left[\left(\frac{F}{2} \cdot R^2 (\sin \alpha \cdot \cos \alpha - \sin \alpha) + F_{Bx} R^2 \sin^2 \alpha \right) \right] R d\alpha = \\
 &= \frac{R^3}{EJ} \int_0^{\pi/2} \left[\frac{F}{2} \left(\frac{2}{2} \sin \alpha \cdot \cos \alpha - \sin \alpha \right) + F_{Bx} \frac{1 - \cos 2\alpha}{2} \right] d\alpha = \\
 &= \frac{R^3}{EJ} \left[\frac{F}{2} \left(-\frac{1}{2} \frac{\cos 2\alpha}{2} + \cos \alpha \right) + F_{Bx} \left(\frac{\alpha}{2} - \frac{\sin 2\alpha}{4} \right) \right]_0^{\pi/2} = \\
 &= \frac{R^3}{EJ} \left[\frac{F}{2} \left(\frac{1}{4} + \frac{1}{4} + 0 - 1 \right) + F_{Bx} \left(\frac{\pi}{4} - 0 + 0 \right) \right] = \\
 &= \frac{R^3}{EJ} \left[-\frac{F}{4} + \frac{F_{Bx}}{4} \cdot \pi \right] = 0 \Rightarrow \underline{F_{Bx} = \frac{F}{\pi}}
 \end{aligned}$$

Dále určíme vertikální posuv v bodě B viz obr. 2.5, který odpovídá w_c u původního uložení obr. 2.1.

$$\begin{aligned}
 v &= \frac{\partial W}{\partial \left(\frac{F}{2}\right)}; \quad M_o(\alpha) = \frac{F}{2} R(1 - \cos \alpha) - F_{Bx} R \sin \alpha; \\
 \frac{\partial M_o(\alpha)}{\partial \left(\frac{F}{2}\right)} &= R(1 - \cos \alpha)
 \end{aligned}$$

$$\begin{aligned}
 V &= \frac{1}{EJ} \int_0^{\pi/2} \left(\frac{F}{2} R (1 - \cos \alpha) - F_{Bx} \cdot R \cdot \sin \alpha \right) \cdot R (1 - \cos \alpha) R d\alpha = \\
 &= \frac{R^3}{EJ} \int_0^{\pi/2} \left[\frac{F}{2} (1 - \cos \alpha)^2 - F_{Bx} (\sin \alpha - \sin \alpha \cos \alpha) \right] d\alpha = \\
 &= \frac{R^3}{EJ} \int_0^{\pi/2} \left[\frac{F}{2} (1 - 2 \cos \alpha + \cos^2 \alpha) + F_{Bx} (\sin \alpha \cos \alpha - \sin \alpha) \right] d\alpha = \\
 &= \frac{R^3}{EJ} \int_0^{\pi/2} \left[\frac{F}{2} \left(1 - 2 \cos \alpha + \frac{1 + \cos 2\alpha}{2} \right) + F_{Bx} \left(\frac{1}{2} \sin 2\alpha - \sin \alpha \right) \right] d\alpha = \\
 &= \frac{R^3}{EJ} \left[\frac{F}{2} \left(\alpha - 2 \sin \alpha + \frac{\alpha}{2} + \frac{\sin 2\alpha}{4} \right) + F_{Bx} \left(-\frac{1}{2} \frac{\cos 2\alpha}{4} + \cos \alpha \right) \right]_0^{\pi/2} =
 \end{aligned}$$

$$\begin{aligned}
 &= \frac{R^3}{EJ} \left[\frac{F}{2} \left(\frac{\pi}{2} - 2 + \frac{\pi}{4} + 0 \right) + F_{Bx} \left(-\frac{1}{2} \cdot \frac{1}{2} + \frac{1}{2} \cdot \frac{1}{2} + 0 - 1 \right) \right] = \\
 &= \frac{FR^3}{EJ} \left[\frac{3}{8} \pi - 1 - \frac{1}{2\pi} \right] = \underline{\underline{0,02 \frac{FR^3}{EJ}}}
 \end{aligned}$$



Pro $F = 1000 \text{ N}$, $R = 150 \text{ mm}$, $\phi d = 15 \text{ mm}$, $E = 2,1 \cdot 10^5 \text{ MPa}$

$v_B = 0,02 \cdot 6,467 = 0,129 \text{ mm}$

Průhyb v místě C je 0,129 mm.

Určení nebezpečného řezu, extrémního napětí σ_{ext} a bezpečnosti vzhledem k meznímu stavu pružnosti.

$$M_0(\alpha) = \frac{F}{2} R (1 - \cos \alpha) - \frac{F}{\pi} R \cdot \sin \alpha$$

$$\frac{\partial M_0(\alpha)}{\partial \alpha} = \frac{F}{2} R \cdot \sin \alpha - \frac{F}{\pi} R \cdot \cos \alpha = 0; \quad \text{tg } \alpha = \frac{2}{\pi} \rightarrow \alpha = 32,5^\circ$$

$$\frac{\partial^2 M_0(\alpha)}{\partial \alpha^2} = \frac{F}{2} R \cos \alpha + \frac{F}{\pi} R \cdot \sin \alpha = 0,591 FR > 0$$

$\alpha = 32,5^\circ$ lokální minimum

$\alpha = 0; \quad M_0(0) = 0$

$\alpha = \frac{\pi}{2}; \quad \underline{\underline{M_0\left(\frac{\pi}{2}\right) = \frac{FR}{2} - \frac{FR}{\pi} = 0,18FR}}$ absolutní maximum

$$F = 1000 \text{ N}, R = 150 \text{ mm}, \phi d = 15 \text{ mm}, E = 21 \cdot 10^5 \text{ MPa}$$

$$M_{\text{max}} = 0,18 \cdot 1000 \cdot 150 = 27 \cdot 10^3 \text{ Nmm} \quad G_k = 350 \text{ MPa}$$

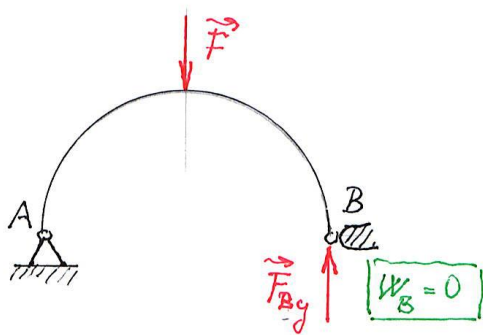
$$W_0 = \frac{\pi d^3}{32} = 331,3 \text{ mm}^3$$

$$\sigma_{\text{ex},0} = \frac{M_{\text{max}}}{W_0} = 81,5 \text{ MPa} ; \quad \sigma_T = \frac{4F/\pi}{\pi d^2} = 1,8 \text{ MPa}$$

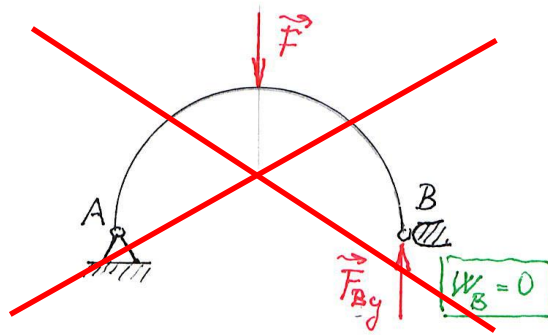
$$k_k = \frac{350}{82} = 4,3$$

Bezpečnost vzhledem k meznímu stavu pružnosti $k_k = 4,3$.

Poznámka: Pokud prut podle obr. 2.1, který je 1x staticky neurčitý, uvolníme podle obr. 2.7a, nebude uložení prutu staticky určité, ale výjimečné. Prut je uložený pohyblivě (vazby A, B neomezuji otáčení kolem bodu A) s jedním omezeným deformačním parametrem (posuv ve směru AB). Uvolnění podle obr. 2.7b nesplňuje podmínky částečného uvolnění.



Obr. 2.7a



Obr. 2.7b

Příklad 3

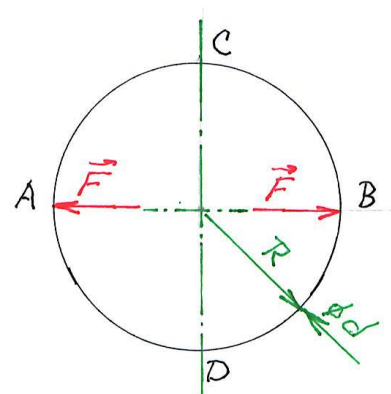
U tělesa podle obrázku 3.1 určete bezpečnost vzhledem k meznímu stavu pružnosti a změnu vzdálenosti bodů A, B, je-li:

$\phi d = 15 \text{ mm}$,

$R = 150 \text{ mm}$,

$F = 1000 \text{ N}$.

Materiál tělesa je ocel, mez kluzu $\sigma_k = 350 \text{ MPa}$. Pro materiál tělesa můžeme použít model Hookovského materiálu.



Obr. 3.1

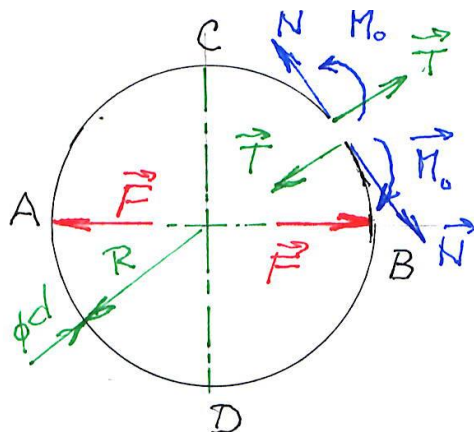
Rozbor:

Těleso má charakter uzavřeného, slabě zakřiveného, rovinného prutu. Pokud extrémní napětí bude menší nebo rovno σ_k , ($\sigma_{\text{ext}} \leq \sigma_k$), splňuje úloha podmínku lineárnosti. Prut má dvě nezávislé osy symetrie, procházející body AB a CD. Nenulové souřadnice VVÚ na osách symetrie jsou N a M_0 .

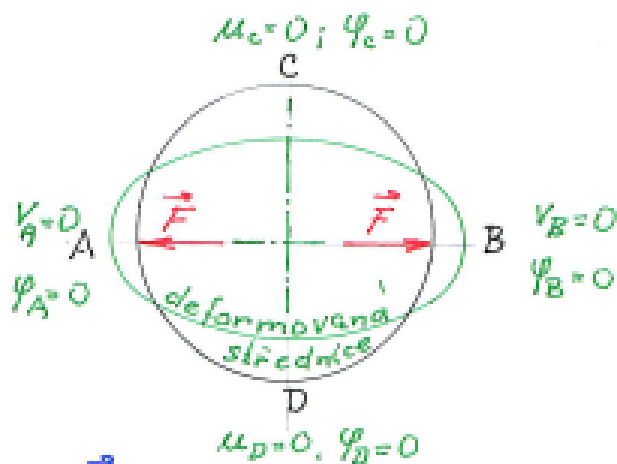
Řešení:

Prut je volný, jako celek ve statické rovnováze. Na osách symetrie jsou v důsledku symetrie vyznačeny nulové souřadnice posuvu a úhlu natočení viz obr. 3.2.

1) Úplné uvolnění: Pokud provedeme na obecném místě prutu řez, nenulové souřadnice VVÚ v řezu jsou $\{N, T, M_o\}$, viz obr. 3.3.



Obr. 3.3



Obr. 3.2

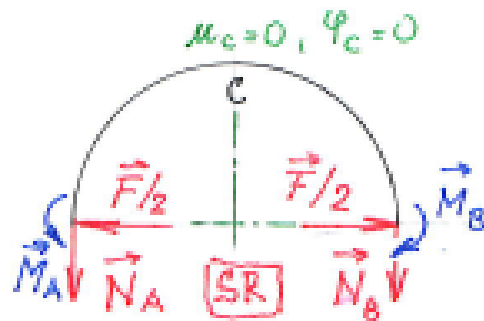
2) Statický rozbor z hlediska určení VVÚ:

$NP = \{N, T, M_o\}$, počet neznámých $\mu = 3$. Všechny rovnice rovnováhy jsou lineárně závislé, $v = 0, s = 3$. Úloha je obecně 3x staticky neurčitá.

3) Uvolnění:

Uvolníme-li prvek na ose symetrie, sníží se stupeň statické neurčitosti o 1 (obr. 3.4). Uvolníme-li prvek prutu řezu na obou osách symetrie, bude $s = 1$.

Nyní popíšeme uvolňování prvku řezem na ose AB a pak na CD. Následně pořadí řezů zaměníme. Osa AB je osou symetrie symetricky zatíženého úprutu, proto v řezu jsou nenulové pouze souřadnice N a M_o .



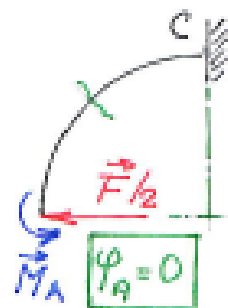
Obr. 3.4

Z momentové rovnice rovnováhy obdržíme $M_{zA}: 2R \cdot N_B = 0 \Rightarrow N_B = 0 = N_A$.

4) Částečné uvolnění čtvrtiny prutu:

Následně **částečně uvolníme** čtvrtinu prutu řezem podle osy symetrie CD (obr. 3.5). Možnost vetknout prutu v bodě C byla vysvětlena v Příkladě 1.

V bodě C je $u_c = 0, \varphi_c = 0$ a v bodě A je možný posuv ve směru osy y , v bodě C jsme oprávněni uvažovat vetknutí



Obr. 3.5

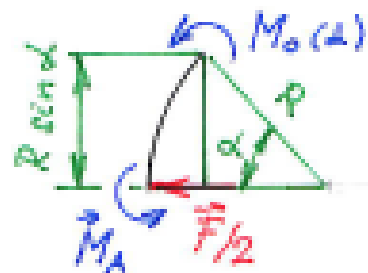
5) Vyjádření deformační podmínky v silovém tvaru

Pro $\sigma_{\text{ext}} \leq \sigma_k$ je úloha lineární. K vyjádření φ_A použijeme Maxwell-Mohrovu variantu Castiglianovy věty. Vzhledem k tomu, že délka prvku je podstatně větší než $5d$ ($235 > 75$), je podstatnou souřadnicí VVÚ,

z hlediska určení úhlu natočení φ_A , ohybový moment $M_o(\alpha)$. Ohybový moment vyjádříme z odděleného prvku, viz obr 3.6.

$$M_o(\alpha) = \frac{F}{2} R \sin \alpha - M_A$$

$$\frac{\partial M_o(\alpha)}{\partial (M_A)} = -1$$



Obr. 3.6

Vyjádření deformační podmínky $\varphi_A = 0$ v silovém tvaru:

$$\begin{aligned} \varphi_A &= \frac{\partial W}{\partial M_A} = \frac{1}{EJ} \int_0^{\pi/2} M_o(\alpha) \cdot \frac{\partial M_o(\alpha)}{\partial M_A} \cdot R \cdot d\alpha = \\ &= \frac{1}{EJ} \int_0^{\pi/2} \left(\frac{F}{2} R \sin \alpha - M_A \right) (-1) R d\alpha = \\ &= \frac{R^2}{EJ} \int_0^{\pi/2} \left(M_A - \frac{F}{2} R \sin \alpha \right) d\alpha = \frac{R^2}{EJ} \left[M_A \alpha - \frac{F}{2} R (-\cos \alpha) \right]_0^{\pi/2} = \\ &= \frac{R^2}{EJ} \left[M_A \frac{\pi}{2} - \frac{F}{2} R \cdot 1 \right] = 0 \Rightarrow \underline{M_A = \frac{F}{\pi} R} \end{aligned}$$

Extrémní 'ohybový' moment:

$$M_o(\alpha) = \frac{F}{2} R \sin \alpha - \frac{F}{\pi} R; \quad \frac{\partial M_o(\alpha)}{\partial \alpha} = \frac{F}{2} R \cos \alpha = 0;$$

$$\alpha_{ex} = \frac{\pi}{2}; \text{ krajní bod intervalu } (0, \frac{\pi}{2}), \text{ absol. extr.}$$

$$\underline{M_o(0) = -\frac{F}{\pi} R = -0,318 FR}; \quad \underline{M_o(\frac{\pi}{2}) = \frac{FR}{2} - \frac{FR}{\pi} = 0,18FR}$$

Extrémní 'napětí' je v A, B

$$\underline{\underline{\sigma_{ex}^{A,B} = \frac{|M_o(0)|}{W_o} = \frac{32 |M_o(0)|}{\pi d^3} = 81,5 \text{ MPa}}}$$

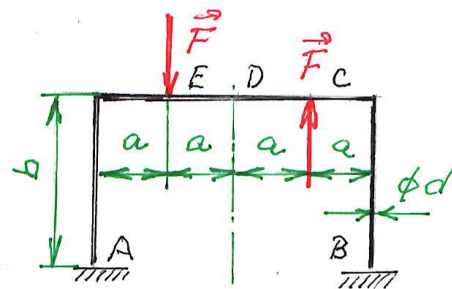
Bezpečnost vzhledem k meznímu stavu pružnosti k_k

$$k_k = \frac{350}{81,5} = 4,29 \quad \text{prut je v elastickém stavu}$$

Poznámka: Provedeme-li řez nejdříve podle osy CD a následně podle AB bude postup podobný, ale ne totožný.

Příklad č. 4

U prutu podle obrázku určete charakter uložení, je-li uložení staticky neurčitě, tak načrtněte částečné uvolnění a částečné uvolnění s využitím symetrie antimetricky zatíženého prutu. Dále určete bezpečnost vzhledem k meznímu stavu pružnosti, je-li: $a = 150 \text{ mm}$, $b = 200 \text{ mm}$, $\phi d = 20 \text{ mm}$, $F = 1000 \text{ N}$, materiál je ocel $\sigma_k = 210 \text{ MPa}$.



Obr. 4.1

Rozbor:

Prut je symetrický, antimetricky zatížený. Charakter uložení určíme na základě statického rozboru úplně uvolněného prutu.

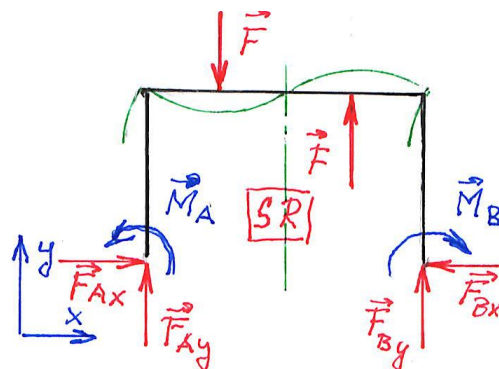
1) **Úplné uvolnění:** Náčrt úplného uvolnění viz obr. 4.2.

2) **Statický rozbor:** $NP = \{F_{Ax}, F_{Ay}, M_A, F_{Bx}, F_{By}, M_B\}$, počet neznámých $\mu = 6$. Soustava sil π působících na těleso je rovinná obecná, $v = 3$, $s = 3$. Úloha je 3x staticky neurčitá.

3) **Rovnice rovnováhy:**

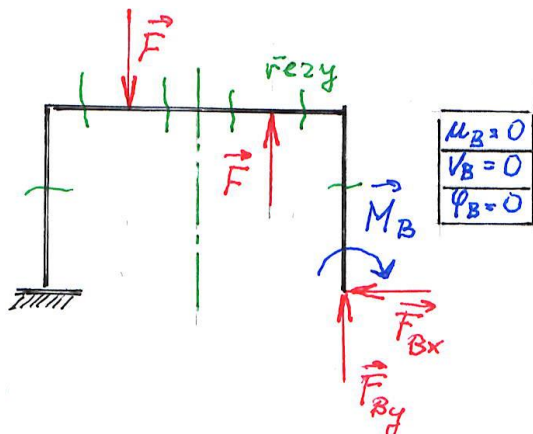
$$F_x: F_{Ax} = 0$$

$$M_{zA}: F_{Bn} \cdot 2R - F \cdot R = 0 \Rightarrow F_{Bn} = F_{Ay} = \frac{F}{2}$$

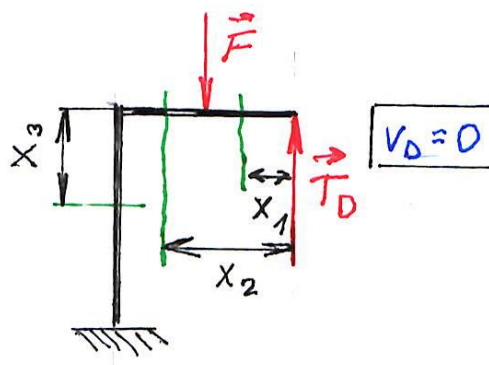


Obr. 4.2

4) **Náčrt částečného uvolnění:**



Obr. 4.3



Obr. 4.4

Na obr. 4.3 je částečné uvolnění bez využití symetrie. Na obr. 4.4 je částečné uvolnění s využitím symetrie.

Řešení úlohy bez využití symetrie je operačně velmi náročné, proto k dalšímu řešení využijeme částečné uvolnění řezem na ose symetrie. Pro jednotlivé úseky prutu platí $l/d > 5$. Podstatnou souřadnicí VVÚ, pro určení deformační charakteristiky je ohybový moment $M_o(x)$. V důsledku zalomení střednice prut rozdělíme na tři úseky, viz obr. 4.4. K vyjádření deformační podmínky $v_D = 0$, použijeme Maxwell – Mohrovy variantu Castiglianovy věty.

Nejdříve si vyjádříme ohybový moment a derivace ohybového momentu podle T_D , na jednotlivých úsecích.

$$M_o^I(x_1) = T_D \cdot x_1; \quad \frac{\partial M_o^I(x_1)}{\partial T_D} = x_1$$

$$M_o^{II}(x_2) = T_D (x_2 + a) - F \cdot x_2; \quad \frac{\partial M_o^{II}(x_2)}{\partial T_D} = x_2 + a$$

$$M_o^{III}(x_3) = T_D \cdot 2a - F \cdot a; \quad \frac{\partial M_o^{III}(x_3)}{\partial T_D} = 2a$$

Nyní dosadíme do deformační podmínky $v_D = 0$ a ze známé hodnoty posuvu určíme T_D .

$$v_D = 0$$

$$v_D = \frac{1}{EJ} \left[\int_0^a M_o^I(x_1) \cdot \frac{\partial M_o^I(x_1)}{\partial T_D} dx_1 + \int_0^a M_o^{II}(x_2) \cdot \frac{\partial M_o^{II}(x_2)}{\partial T_D} dx_2 + \int_0^b M_o^{III}(x_3) \cdot \frac{\partial M_o^{III}(x_3)}{\partial T_D} dx_3 \right] = 0; \quad \frac{1}{EJ} \neq 0$$

$$\int_0^a T_D \cdot x_1 \cdot x_1 dx_1 + \int_0^a (T_D (a + x_2) - F x_2) (x_2 + a) dx_2 +$$

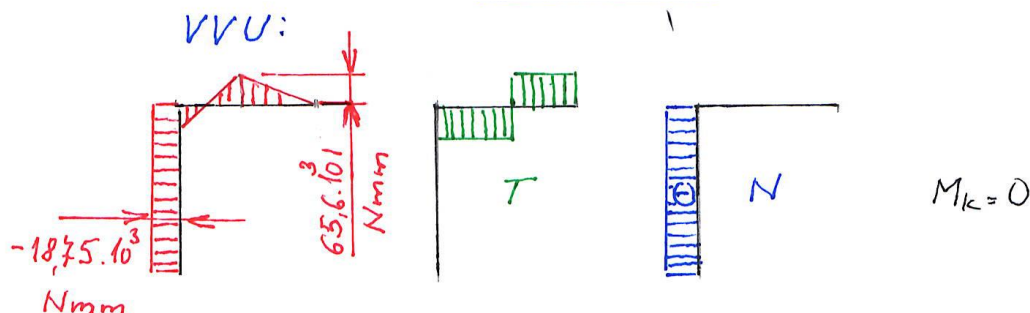
$$\int_0^a T_D \cdot x_1 \cdot x_1 dx_1 + \int_0^a (T_D (a + x_2) - F x_2) (x_2 + a) dx_2 +$$

$$+ \int_0^b (T_D \cdot 2a - F \cdot a) \cdot 2a \cdot dx_3 = 0$$

$$T_D \left[\frac{x_1^3}{3} \right]_0^a + T_D \left[a^2 x_2 + \frac{2a x_2^2}{2} + \frac{x_2^3}{3} \right]_0^a - F \left[\frac{x_2^3}{3} + a \frac{x_2^2}{2} \right]_0^a +$$

$$+ (T_D \cdot 2a - F \cdot a) \cdot 2a [x_3]_0^b = 0 \dots \dots \underline{T_D = 0,4375 F}$$

$$\underline{T_D = 437,5 N}$$



Z průběhu VVÚ je patrné, že nebezpečný řez prochází bodem E střednice a nebezpečná místa jsou ve dvou bodech na povrchu tohoto řezu. Následně určíme extrémní napětí a bezpečnost vzhledem k meznímu stavu pružnosti:

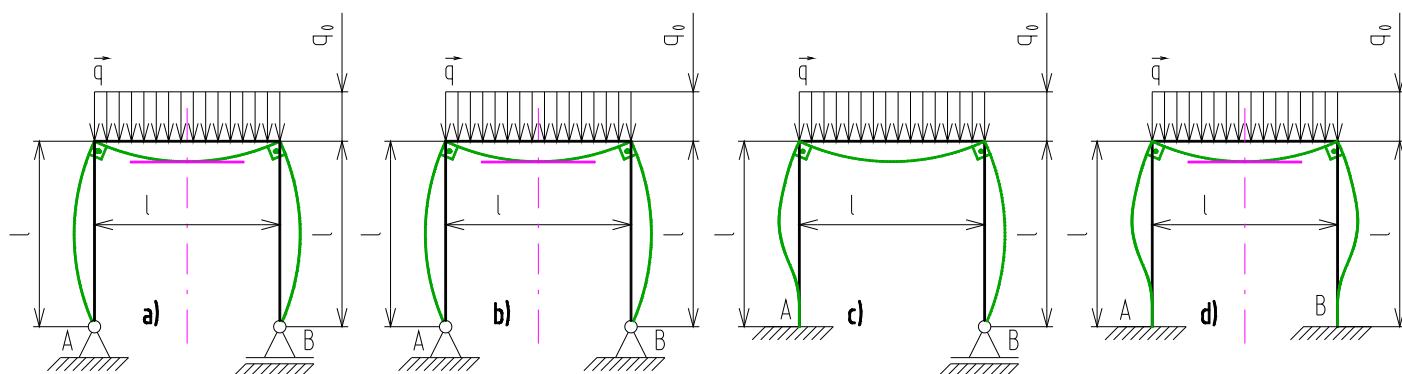
$$\sigma_{ex}^E = \frac{M_o^E}{W_o} = \frac{32 M_o^E}{\pi d^3} = \frac{32 \cdot 437,5 \cdot 150}{\pi 20^3} = \underline{\underline{83,6 \text{ MPa}}}$$

$$k_k = \frac{\sigma_k}{\sigma_{ex}} = \frac{210}{83,6} = 2,5$$

Bezpečnost vzhledem k meznímu stavu pružnosti je 2,5.

Příklad č. 5 (neřešený)

Posuďte bezpečnost k meznímu stavu pružnosti u 4 konstrukčních variant rámu, znázorněných na obr. 5.1. Rám je v horní části zatížen spojitým liniovým zatížením $q_0 = 2 \text{ N/mm}$. Délka $l = 0,8 \text{ m}$ a příčný průřez je kruhového tvaru o průměru $\varnothing d = 25 \text{ mm}$. Rám je vyroben z oceli s $\sigma_k = 250 \text{ MPa}$. Jednotlivé varianty se od sebe liší pouze vazbami, které spojují rám k základnímu tělesu.



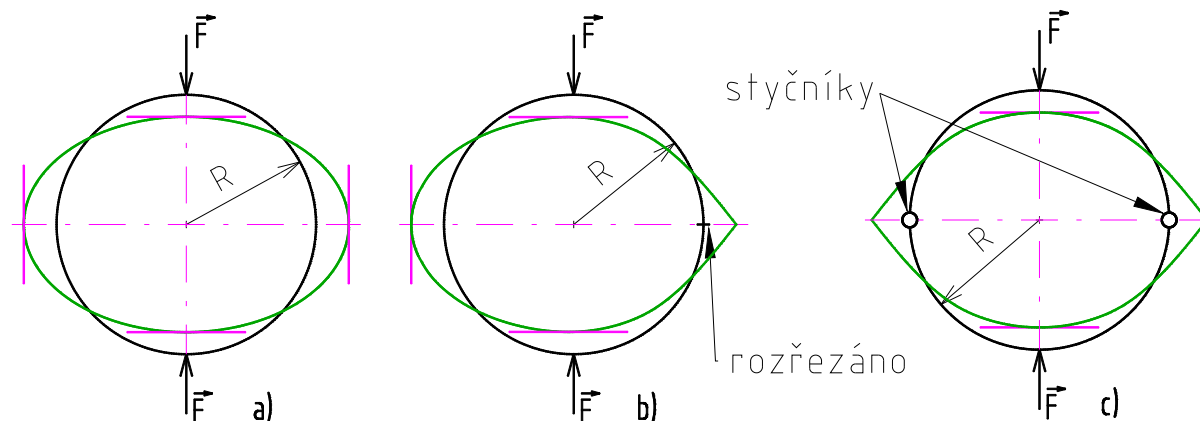
Obr. 5.1

Výsledky:

- a) $k_k = 2,39$
- b) $k_k = 3,99$
- c) $k_k = 2,73$
- d) $k_k = 4,31$

Příklad č. 6 (neřešený)

Určete bezpečnost vzhledem k meznímu stavu pro 3 varianty prutu dle obr. 6. 1. Prut má příčný průřez kruhového tvaru o průměru $\varnothing d = 25 \text{ mm}$ a poloměr zakřivení střednice $R = 1 \text{ m}$. Zatížení je realizováno dvěma silami o hodnotě $F = 500 \text{ N}$. Rám je vyroben z oceli s $\sigma_k = 250 \text{ MPa}$.



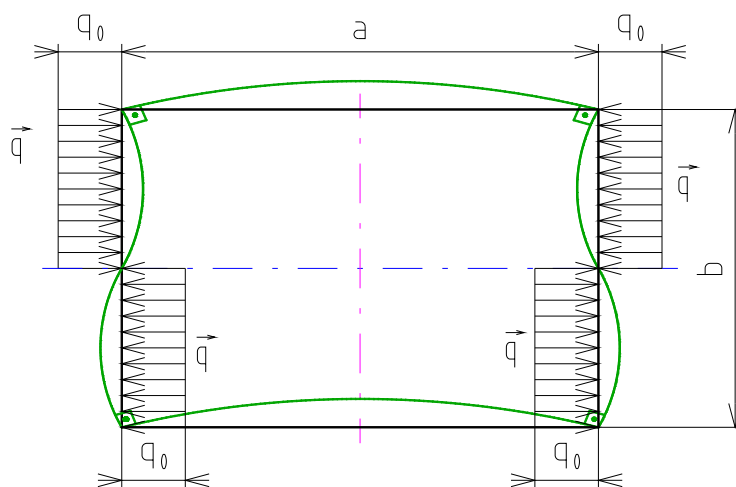
Obr. 6.1: Kruhový rám: a) s uzavřenou střednicí; b) s otevřenou střednicí; c) se dvěma styčníky.

Výsledky:

- a) $k_k = 2,4$
- b) $k_k = 2,02$
- c) $k_k = 1,54$

Příklad č. 7 (neřešený)

Určete bezpečnost k meznímu stavu pružnosti uzavřeného obdélníkového rámu (obr. 7.1). Rám je zatížen spojitým liniovým zatížením $q_0 = 12 \text{ Nmm}^{-1}$. Je tvořen délkami $a = 1,2 \text{ m}$ a $b = 0,8 \text{ m}$ a příčným průřezem kruhového tvaru o průměru $\varnothing d = 25 \text{ mm}$. Mez kluzu materiálu, ze kterého je rám vyroben, je $\sigma_K = 250 \text{ MPa}$.



Obr. 7.1

Výsledek: $k_k = 1,75$

Domácí úkol:

DÚ 10

U lomeného prutu kruhového průřezu o průměru d , zatíženého spojitým liniovým zatížením \vec{q} a silovými dvojicemi \vec{M} , určete bezpečnost vzhledem k meznímu stavu pružnosti. Vlastní tíhu prutu ani koncentraci napětí v místě zlomů neuvažujte.

Dáno:

$$\begin{aligned} a &= 0,4 \text{ m}, & q &= 6 \text{ Nmm}^{-1}, & E &= 2,1 \cdot 10^5 \text{ MPa}, \\ d &= 20 \text{ mm}, & \mathcal{M} &= \frac{1}{20} qa^2 = 48 \text{ Nm}, & \sigma_K &= 400 \text{ MPa}. \end{aligned}$$

